
 論文

上吹転炉における脱磷平衡*

(Chipman の平衡の適用)

前田元三・**田島喜久雄**・本間悦郎**

A STUDY ON THE DEPHOSPHORIZATION EQUILIBRIUM
IN LD CONVERTER

(The application of Chipman's equilibrium formula)

Motozo Maeda, Kikuo Tajima and Eturo Homma

Synopsis:

The authors applied the dephosphorization equilibrium formula reported by Chipman to mostly the final slag and metal samples of the 3 ton experimental LD converter.

The results obtained were as follows.

(1) The observed values of K_p , dephosphorization constant calculated from oxygen in metal, were in fairly good accordance with Chipman's equilibrium values, while the values of K_p' , dephosphorization constant calculated from (FeO) in slag showed a definite discrepancy from Chipman's equilibrium values.

Furthermore the discrepancy increased almost proportionally with the increase of (FeO)% or T.Fe% in slag.

Expressing this discrepancy as $\Delta \log K_p' (= \log K_p'_{(chip)} - \log K_p'_{(obs)})$, the authors obtained the following relations statistically.

$$\Delta \log K_p' = 0.07 \text{ T.Fe\%} - 0.80 \quad (1)$$

$$\text{or } \Delta \log K_p' = 4.99 N_{FeO} - 0.95 \quad (2)$$

(2) During the final stage of the blow, the oxygen in bath did not increase proportionally with (FeO) in slag and at the end of the blow the oxygen in bath was generally lower than the value predicted from the distribution equilibrium of oxygen between metal and slag.

Therefore less effect of "after-blow" to dephosphorization could be expected compared to the bottom blown converter.

(3) In the final slag of the converter there existed somewhat a definite relation between N_{CaO}' and N_{FeO} according to the operation condition such as the amount of lime charged, [Si]%, of pig iron, pig ratio, etc.

N_{CaO}' tended to decrease with the increase of N_{FeO} because of the dilution effect of (FeO). For the slag they studied, the following relation was obtained.

$$N_{CaO}' = -0.74 N_{FeO} + 0.72 \quad (3)$$

(4) The relation between phosphorus-distribution ratio, $\log N_{Ca_4P_2O_9}/[\%P]^2$ and N_{FeO} was calculated as follows.

$$\log K_p'_{(obs)} = \log K_p'_{(chip)} - \Delta \log K_p' \quad (4)$$

$$\log K_p'_{(chip)} = 40067/T - 15.06 \quad (5)$$

from Eq. (2), (5) and (4)

$$\begin{aligned} \log K_p'_{(obs)} &= \log N_{Ca_4P_2O_9}/[\%P]^2 (N_{FeO})^5 (N_{CaO}')^4_{(obs)} \\ &= 40067/T - 15.06 - 4.99 N_{FeO} - 0.95 \end{aligned} \quad (6)$$

from Eq. (3) and (6)

$$\begin{aligned} \log N_{Ca_4P_2O_9}/[\%P]^2_{(obs)} &= 4.0067/T - 4.99 N_{FeO} + 5 \log N_{FeO} + 4 \\ &\quad \log (-0.74 N_{FeO} + 0.72) - 14.11 \end{aligned} \quad (7)$$

* 昭和 32 年 10 月本会講演大会にて発表, ** 富士製鉄 K.K. 室蘭製鉄所

With the increase of N_{FeO} the value of $\log N_{Ca_4P_2O_9}/[\%P]^2 \text{ (obs)}$ increased to a maximum value at about $N_{FeO}=0.3$ but with the further increase of N_{FeO} it began to decrease.

This relation is very interesting when they consider the practical phenomenon that during "after-blow" dephosphorization is not so much improved in spite of the rapid increase of (FeO) content in slag.

I. 緒 言

熔銅の脱磷平衡に関する研究は実験室的基礎研究および実際操業例についての研究のいづれとも古くから多くの人々によりなされているが、それらの研究結果は必ずしも良く一致しているとはいはず脱磷恒数の表示法も各人各様である。

ただ比較的良好な適応性を与える方法としては古くは図表計算による H. Schenck & W. Rieß¹⁾の方法、複雑な計算による T. Winkler & J. Chipman²⁾の方法、比較的簡便な K. Balajiva, A. G. Quarrell & P. Vajragupta³⁾の方法およびイオン説を利用した P. Herasymenko & G. E. Speight⁴⁾の方法等があげられる。

著者等は当所で試験中の 3t 上吹試験転炉の最終銅滓について従来報告されている脱磷平衡式の適用を試みた。そこでどの脱磷平衡式をとりあげるべきかが問題となつたが比較的最近の Chipman, et al²⁾の方法を最初にとりあげ検討を進めることとした。かれらの方法は上述したように計算が複雑であるという難点はあるがあとのべるように著者などの対象とした銅滓の成分範囲内では計算もかなり簡略化しうることがわかつた。

II. 解 析 試 料

解析試料数は 87 個、主として吹製終了時のものであるが一部 flame-drop 以前 5 分以内のものも含まれる。これらの銅浴、銅滓の化学成分範囲および銅浴温度範囲は Table 1 に示すとくであり $(CaO) + (FeO) + (MnO) + (P_2O_5) = 1000\%$ として (CaO) , (FeO) , (MnO) および (P_2O_5) をそれぞれ換算すると銅滓成分は Fig. 1 に示す範囲にばらついている。

なお、酸素分析試料は石英管吸引法により採取し真空熔融により分析した。

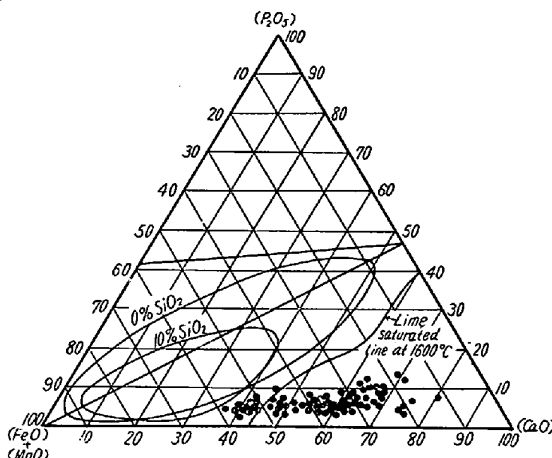


Fig. 1. Composition range of slag samples.

III. Chipman の平衡式の適用

Chipman, et al²⁾ の提示していい脱磷恒数

$$K_p = \frac{(N_{Ca_4P_2O_9})}{[\%P]^2 [\%O]^5 (N_{CaO'})^4}$$

および

$$K_p' = \frac{(N_{Ca_4P_2O_9})}{[\%P]^2 (N_{FeO})^5 (N_{CaO'})^4}$$

はかなり広い銅滓組成範囲について相当の適心性を示すことが報告されているが遊離成分の計算が複雑であることがその欠点の一つとされている。計算が複雑であるとされている所以はかれらが銅滓を構成している molecule series として考えている $4CaO \cdot SiO_2$ と $2CaO \cdot 2SiO_2$ との間に



なる解離平衡があるとし $4CaO \cdot 2SiO_2$ および $2CaO \cdot 2SiO_2$ のモル数の算出につきに示す三次式をとく手数が含まれているからである。

$$(C_2S_2)^3 + [(C) - 4(S_2)](C_2S_2)^2 + [(C) - 4(S_2)]^2 + 0.01N^2S \frac{C_2S_2}{4} - 0.0025N^2S(S_2) = 0$$

ここに $(C_2S_2) \dots 2CaO \cdot 2SiO_2$ の銅滓 100g 中の

Table 1. Composition and temperature ranges of slag, metal samples.

[C] %	[P] %	[O] %	(FeO) %	(Fe ₂ O ₃) %	(CaO) %	(SiO ₂) %	(MnO) %	(MgO) %	(P ₂ O ₅) %	(Al ₂ O ₃) %	Temp °C
0.02 ~1.98	0.014 ~0.264	0.0029 ~0.169	2.25 ~38.63	1.07 ~13.50	27.06 ~55.78	3.65 ~21.85	4.41 ~14.57	1.38 ~9.25	2.16 ~9.51	0.31 ~1.80	1450~1700

モル数

(C) Fe_2O_3 および P_2O_5 と結合した残りの過剰塩基の鋼滓 100 g 中のモル数

(S_2)鋼滓中 100 g の珪酸の総モル数

N_s 鋼滓 100 g 中の全成分総モル数

上式の導出法および詳細は Chipman, et al²⁾ の報告を参照されたい。

上式によれば (C) が大で (S_2) が小なるほど、すなわち塩基度の大なるほど $C_2\text{S}_2$ の値は小さくなつていく。

今回解析の対象とした鋼滓はいずれも塩基度の高いものであり $C_2\text{S}_2$ は $C_4\text{S}_2$ に比し著しく小さくほとんど無視しえるものである。

$$\begin{aligned} C_2\text{S}_2 = 0 \text{ とすれば } C_4\text{S}_2 &= (S_2) \text{ となり } (\text{CaO}') \text{ も次式} \\ (\text{CaO}') &= (C) - 4(C_4\text{S}_2) - 2(C_2\text{S}_2) \\ &= (C) - 4(S_2) \end{aligned}$$

によりただちに求まり三次式をとく手数がはぶけ計算が非常に簡単になる。Table 2 に塩基度が高、中、低 3 種の鋼滓について Chipman の方法と簡便法とにより算出した $\log K_p'$ の値を比較して示すがほとんど大差ないといえる。

以上の簡便法により $\log K_p$ と $\log K_p'$ を算出し絶対湿度の逆数 ($1/T$) との関係を検討した結果を Fig. 2 および Fig. 3 に示す。両図を比較検討すると $\log K_p$ の値はかなりのばらつきはあるが Chipman の平衡式にまたがつて散在し $\log K_p'$ は明らかに Chipman の平衡式の下方に散在しており回帰直線も図に示すように Chipman の平衡式にほぼ平行である。

このことは Chipman の平衡式を基準に考えれば次のことを意味するものと思われる。すなわち鋼浴の酸素から見れば脱燃反応は略々平衡に達しているが、鋼滓の (FeO) から見れば未だ平衡に達しておらずさらに進行しうる。さらに実測値を Fig. 2 および Fig. 3 に示すように鋼滓の T·Fe% 別に識別すると $\log K_p'$ の実測値は T·Fe% の高いほど Chipman の平衡値より離れていく傾向がうかがわれる。

Table 2. Comparison of the values of $\log K_p'$ calculated by Chipman's method and simplified method.

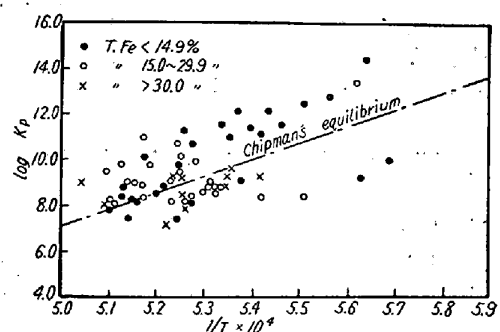


Fig. 2. Effect of temperature on $\log K_p$.

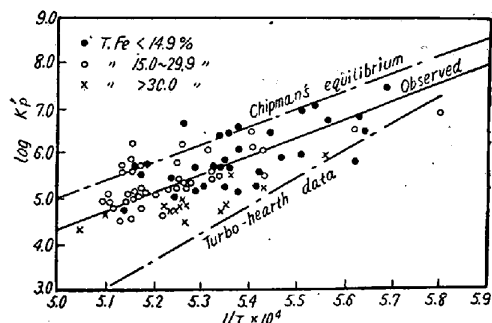


Fig. 3. Effect of temperature on $\log K_p'$.

Chipman の平衡値と実測値との差、すなわち $\log K_{p'}^{(\text{chip})} - \log K_{p'}^{(\text{obs})}$ を $\Delta \log K_p'$ とすると鋼滓中の T·Fe% が同一でも $\Delta \log K_p'$ に作用すると考えられる因子にランス—鋼浴間距離および吹精末期の酸素圧力がある。というのは酸素噴流作用により脱燃反応が平衡に近づくことが考えられるからである。そこでランス—鋼浴間距離が 500 mm のデーター (データー数 72) について酸素圧力 (z) の影響を除いた場合の $\Delta \log K_p'(y)$ と T·Fe% (x) との間の偏相関係数 $\gamma_{xy.z}$ および T·Fe% の影響を除いた場合の $\Delta \log K_p'$ と酸素圧力との間の偏相関係数 $\gamma_{yz.x}$ を求めた所、それぞれ $\gamma_{xy.z} = 0.385$, $\gamma_{yz.x} = 0.0027$ となり $\Delta \log K_p'$ と T·Fe% との間の偏相関係数は高度に有意となり $\Delta \log K_p'$ と酸素圧力との間の相関関係は見受けられなかつた。

そこで酸素圧力の影響を考えずに $\Delta \log K_p'$ と T·Fe% との間の単相関係数を求めると $\gamma_{zy} = 0.382$ となり高

Slag analysis (%)							$\log K_p'$	
FeO	Fe_2O_3	CaO	SiO_2	MnO	MgO	P_2O_5	Chipman's method	Simplified method
40.09	14.59	27.06	3.65	4.97	1.92	2.65	5.192	5.200
19.11	5.83	36.61	12.75	4.64	8.64	3.00	4.646	4.651
5.03	3.86	45.84	21.85	8.33	4.62	3.06	5.720	5.750

度に有意である。このことは $T\text{-Fe}\%$ の増大とともに $\log K_p'$ が大きくなる、すなわち平衡からはずれが大きくなることを意味するものと考えられる。

IV. $[O]$ と N_{FeO} との関係

Chipman に脱焼平衡の実験において $FeO\%$ のかなり広範囲な鋼滓について $[O]$ の活量と鋼滓の (FeO) のモル分率 (N_{FeO}) とは平衡状態においては等しいことを確めている。ところが著者等の実測値について $[O]$ の活量 ($= \%[O]_{obs}/\%[O]_{sat}$) と N_{FeO} との関係を検討したところ Fig. 4 に示すように 45° 線より下方にずれている。このことは FeO に関しては鋼浴と鋼滓とは平衡に達しておらず (FeO) が鋼浴の $[O]$ と平衡すべき値より過剰に存在していることを示している。以上の事実は前項でのべた K_p と K_p' のそれぞれの平衡値よりのずれの相異を裏書きするものと考えられる。

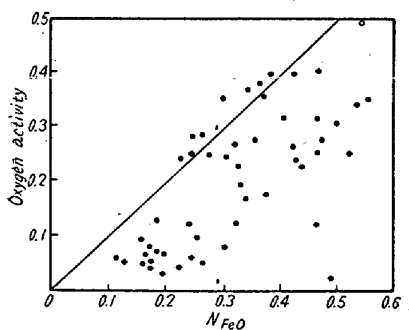


Fig. 4. The relation between N_{FeO} and oxygen activity in metal.

つぎにこの両者の関係を平炉および底吹転炉の実績と比較した。先ず平炉と比較すると Fig. 5 のごとくであり、ほぼ同様の関係にある。底吹転炉と比較すると Fig. 6 および Fig. 7 のごとくであり $T\text{-Fe}$ の実測値は一般に高いが同一 $T\text{-Fe}\%$ では $[O]\%$ あるいは α_{FeO} は明らかに低い。

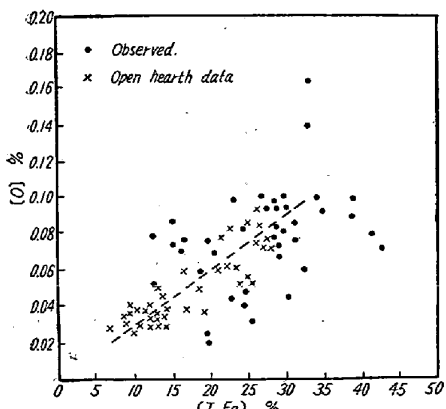


Fig. 5. The relation between $(T\text{-Fe})\%$ and $[O]\%$ (Comparison with open hearth data⁵⁾)

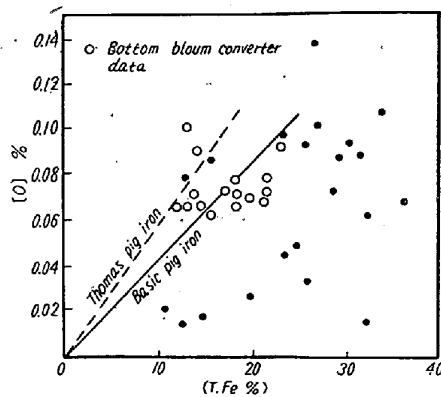


Fig. 6. The relation between $(T\text{-Fe})\%$ and $[O]\%$ (Comparision with bottom converter data⁶⁾).

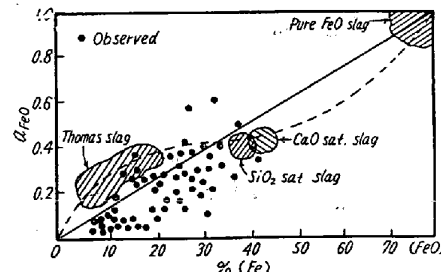


Fig. 7. The relation between $(W\text{-Fe})\%$ and α_{FeO} (Comparision with reported data⁷⁾).

以上のように上吹転炉の吹製終了時の $[O]\%$ と $T\text{-Fe}\%$ との関係は底吹転炉におけるとは異り、従つて脱焼反応の進行もかなり様相を異にするようである。この相違の一つの解釈としてつぎのことが考えられる。すなわち底吹転炉においては脱炭反応が終了したあとでも衝風が直接鋼浴中を通り抜け鋼浴の酸化が充分に行われると同時に衝風による攪拌により鋼浴と鋼滓の接触が充分に行われいわゆる“後吹き”により脱焼反応が進行する。これに反し上吹転炉では酸素は湯面上に吹きつけられるのであり、また脱炭反応による沸騰が弱まるにつれて鋼浴の攪拌は少くなり鋼浴、鋼滓間の接触が充分に行われず鋼滓の (FeO) の増加に比例して $[O]$ はさほど増加せず従つて脱焼反応の進行も弱まる。

Fig. 3 に当所のターボ・ハースの最終鋼滓についての関係を示すが上吹転炉よりもさらに平衡より離れておりターボ・ハースにおける送風圧力が低く上吹転炉よりも攪拌作用がさらに少いことを考えると上述の解釈も妥当性があるように思われる。

V. $N_{CaO'}$ と N_{FeO} との関係

転炉の鋼滓の特性として CaO , P_2O_5 , MnO , MgO , Al_2O_3 などの絶対量はほとんど不变であり、ただ $T\text{-Fe}$

のみはその絶対量が烈しく変動する。そこで CaO , SiO_2 , FeO 以外の成分の量、屑鉄量、熔銑の $\text{Si}\%$ 、使用生石灰の CaO および $\text{SiO}_2\%$ などを適当に仮定すると Chipman の手法により算出した free-lime のモル分率 ($N_{\text{CaO}'}$) は次式のように N_{FeO} と生石灰使用量 (W_K) の函数として表わされる (Appendix 参照)

$$N_{\text{CaO}'} = \frac{(1.126 W_K - 38.166)(0.0139 - 0.0139 N_{\text{FeO}})}{0.0158 W_K - 0.2648}$$

上式に W_K ($\text{Kg lime}/\text{T} \cdot \text{pig + scrap}$) の適当な値を代入すると $N_{\text{CaO}'}$ と N_{FeO} の一次式となり Fig. 8 に示すように W_K 別の直線群がえられる。すなわち同一生石灰使用量では N_{FeO} の増加に従い $N_{\text{CaO}'}$ は低下していく。これは前述したように FeO 以外の各成分の絶対量がほとんど不变であるのに対し FeO はその絶対量が変動し FeO の増加に伴い他の成分が稀釈され従つて $N_{\text{CaO}'}$ も低下していくことを示す。すなわち転炉においては最終鋼滓の $N_{\text{CaO}'}$ は吹製初期の生石灰投入量および N_{FeO} によりほぼ決つてしまい平炉のごとく $N_{\text{CaO}'}$ と N_{FeO} とをある程度任意に調節することは出来ない。つぎに Fig. 8 に実測値をプロットすると同図に示すように $N_{\text{CaO}'}$ と N_{FeO} とは直線的関係にあり ($r = -0.656$) 回帰直線は破線で示すごとくである。

この回帰線の式を算出すると

$$N_{\text{CaO}'} = -0.74 N_{\text{FeO}} + 0.72 \quad \dots \dots \dots (1)$$

となる。

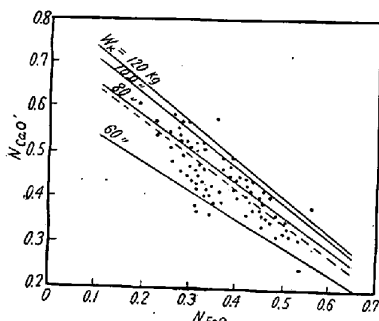


Fig. 8. The relation between N_{FeO} and $N_{\text{CaO}'}$.

実測値の各熔解の使用生石灰量は 90% CaO の生石灰に換算すると約 80 kg / T pig + scrap であり計算により出した Fig. 8 の 80 kg の直線とかなりよく一致している。

VI. 磷の分配比と N_{FeO} との関係

磷の分配比 ($N_{\text{Ca}_4\text{P}_2\text{O}_9}/[\% \text{P}]^2$) あるいは $\log(N_{\text{Ca}_4\text{P}_2\text{O}_9}/[\% \text{P}]^2)$ と N_{FeO} との関係は $\log K_p'$ の実測式 (Fig. 3 の実測値の回帰直線の式)

$$\begin{aligned} \log K_p' &= \log(N_{\text{Ca}_4\text{P}_2\text{O}_9}) / [\% \text{P}]^2 (N_{\text{FeO}})^5 (N_{\text{CaO}'})^4 \\ &= 43200/T - 17.51 \end{aligned} \quad \dots \dots \dots (2)$$

をつぎのごとく変形し

$$\log(N_{\text{Ca}_4\text{P}_2\text{O}_9}) / [\% \text{P}]^2 = 43200/T - 17.51 - 5$$

$$\log(N_{\text{FeO}}) - 4 \log(N_{\text{CaO}'}) \end{math>$$

上式に (1) 式の関係を代入すれば一応得られるわけ

であるが、前述せるように $T \cdot \text{Fe}\%$ ひいては

$-0.0144 N_{\text{FeO}}$ が $\Delta \log K_p'$ に大きく影響しているとすれば全実測値と一緒にひつくるめて算出した平衡式 (2) 式をもとに解析を進めたのでは磷の分配比と N_{FeO} との関係を求める際に少しく無理が生ずるものと思われる。そこで $(N_{\text{Ca}_4\text{P}_2\text{O}_9}) / [\% \text{P}]^2$ あるいは $\log(N_{\text{Ca}_4\text{P}_2\text{O}_9}) / [\% \text{P}]^2$ と N_{FeO} との関係をもとめる際に (2) 式を用い各 N_{FeO} の値における $\Delta \log K_p'$ を $\Delta \log K_p'$ と N_{FeO} との関係式 (後述) より求め

$$\log K_p'_{(\text{obs})} = \log K_p'_{(\text{chip})} - \Delta \log K_p' \quad \dots \dots \dots (4)$$

なる関係により $\log K_p'_{(\text{obs})}$ を求める。

$\Delta \log K_p'$ と $T \cdot \text{Fe}\%$ との間の単相関係数は先にのべたように $r = 0.382$ と高度に有意であり回帰直線の式を求める

$$\Delta \log K_p' = 0.07 T \cdot \text{Fe}\% - 0.80 \quad \dots \dots \dots (5)$$

となる。

つぎに $T \cdot \text{Fe}\%$ を N_{FeO} に置き換えるのであるが両者の実測値について見ると相関関係は高度に有意であり、

$$T \cdot \text{Fe}\% = 71.4 N_{\text{FeO}} - 2.14 \quad \dots \dots \dots (6)$$

なる関係式がえられる。

(6) 式を (5) 式に代入すると $\Delta \log K_p'$ と N_{FeO} との関係式として

$$\Delta \log K_p' = 4.99 N_{\text{FeO}} - 0.95 \quad \dots \dots \dots (7)$$

がえられる。

(7) 式を (4) 式に代入すると

$$\log K_p'_{(\text{obs})} = \log K_p'_{(\text{chip})} - 4.99 N_{\text{FeO}} + 0.95 \quad \dots \dots \dots (8)$$

然るに

$$\log K_p'_{(\text{chip})} = 40067/T - 15.06 \quad \dots \dots \dots (9)$$

であるから (8) 式は

$$\begin{aligned} \log K_p'_{(\text{obs})} &= 40067/T - 15.06 \\ &\quad - 4.99 N_{\text{FeO}} + 0.95 \end{aligned} \quad \dots \dots \dots (10)$$

これを書き直すと

$$\begin{aligned} \log(N_{\text{Ca}_4\text{P}_2\text{O}_9}) / [\% \text{P}]^2 (N_{\text{FeO}})^5 (N_{\text{CaO}'})_{(\text{obs})} \\ = 40067/T - 4.99 N_{\text{FeO}} - 14.11 \end{aligned} \quad \dots \dots \dots (11)$$

更に $\log(N_{\text{Ca}_4\text{P}_2\text{O}_9}) / [\% \text{P}]^2_{(\text{obs})} = 40067/T - 4.99 N_{\text{FeO}} + 5 \log N_{\text{FeO}} + 4 \log N_{\text{CaO}'} - 14.11$

.....(12)

N_{FeO} と $N_{CaO'}$ との間には前項でのべたように (1) 式のごとき関係がある。そこで (12) 式と (1) 式とよりある温度における $\log(N_{Ca_4P_2O_9})/[%P]^2$ と N_{FeO} との関係が求まるわけである。

1575°C, 1625°C および 1675°C における計算結果を図示すると Fig. 9 ~ Fig. 11 のごとくなる。

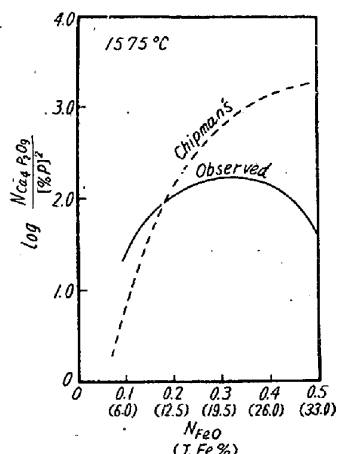


Fig. 9. The effect of N_{FeO} or $T \cdot Fe\%$ on the phosphorus-distribution ratio at 1575°C.

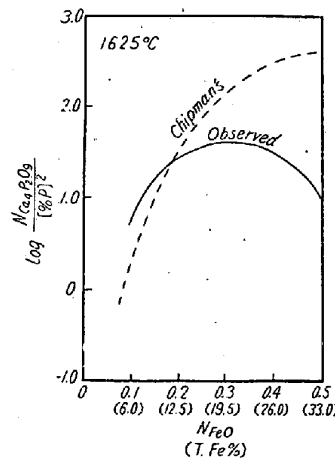


Fig. 10. The effect of N_{FeO} or $T \cdot Fe\%$ on the phosphorus-distribution ratio at 1625°C.

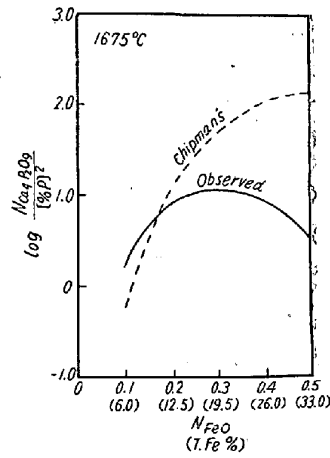


Fig. 11. The effect of N_{FeO} or $T \cdot Fe\%$ on the phosphorus-distribution ratio at 1675°C.

これらの図より明らかに $T \cdot Fe$ が約 12% 以下では脱磷反応は Chipman の平衡式をもとに考えれば平衡に達しあるいは平衡以上に進んでおりそれ以上では $T \cdot Fe$ あるいは N_{FeO} の増大とともに Chipman の平衡より離れていく。

さらに Chipman の平衡式によれば N_{FeO} の増加に従い $\log(N_{Ca_4P_2O_9})/[%P]^2$ の値は増大していくが実測値は $N_{FeO}=0 \cdot 3$, $T \cdot Fe$ にして約 20% 附近に極大点を生じこれ以上 N_{FeO} が増加すると $\log(N_{Ca_4P_2O_9})/[%P]^2$ の値はかえつて低下していく。このことは復燃を意味するものではなく FeO の稀釈作用の為 P_2O_5 が減少するためと思われるがこのように $T \cdot Fe$ 20% 附近で極大点が生じることは実際の操業において最終鋼滓の $T \cdot Fe\%$ が約 20% を超えて増加しても（いわゆる“後吹き”を行つても）脱磷反応があまり進行しない事実を考え合わせると実際の現象に則した結果となつてい

(1) K_p の値は Chipman の平衡値とほぼ一致するが K_p' の値は平衡値よりずれ鋼滓の $T \cdot Fe\%$ が多いほどそのずれは大きくなり

$$\Delta \log K_p' = \log K_p'_{(Cipman)} - \log K_p'_{(obs)}$$

とすると

$$\Delta \log K_p' = 0 \cdot 07 T \cdot Fe\% - 0 \cdot 80 \quad (5)$$

なる関係式がえられる。

(2) (FeO) の増加に比例して $[O]$ はさほど増加せず従つていわゆる“後吹き”期間中の脱磷反応の進行は遅く底吹転炉と様相を異にする。

(3) 転炉においては装入生石灰量、熔銑 Si%, 熔銑比等により最終鋼滓の $N_{CaO'}$ と N_{FeO} との関係は決つてしまい N_{FeO} の増加とともに $N_{CaO'}$ は低下していく。著者等の解析した鋼滓については

$$N_{CaO'} = -0 \cdot 74 N_{FeO} + 0 \cdot 72 \quad (1)$$

なる関係式がえられた。

(4) 磷の分配比 $\log(N_{Ca_4P_2O_9})/[%P]^2$ と N_{FeO} との関係を検討したところ $N_{FeO}=0 \cdot 3$, $T \cdot Fe$ 約 20% で極大点を生じそれ以上 $T \cdot Fe$ が増加すると分配比は低下し“後吹き”を行つても脱磷反応があまり進行しないという実際の現象に則した結果となつている。

終りは臨み本解析に対する東北大学選鉱製錬研究所三木貢治教授の御指導を感謝致します。

(Appendix)

$N_{CaO'}$ と N_{FeO} との関係式の算出法

$N_{CaO'}$ および N_{FeO} はそれぞれ次式により表わされる。

$$N_{CaO'} = CaO'/Ns \quad (1)$$

$$N_{FeO} = FeO/Ns \quad (2)$$

VII. 結 言

3t 上吹試験転炉の主として吹製終了時の試料についての Chipman 平衡式をもとに脱磷の解析を試みつぎの結果を得た。

ここに CaO' および FeO はそれぞれ鋼滓中（熔鋼 t 当りの鋼滓量）の frelime および FeO のモル数であり N_s は鋼滓成分の全モル数である。

(1), (2) 式より

$$\begin{aligned} N_{\text{CaO}'} &= N_{\text{FeO}} \times \text{CaO}' / \text{FeO} \\ &= N_{\text{FeO}} \times \text{CaO}' \times 72 / W_{\text{FeO}} \end{aligned} \quad (3)$$

ここに W_{FeO} は鋼滓の FeO の重量

$$\text{一方 } N_{\text{FeO}} = W_{\text{FeO}} / (72 \times N_s) \quad (4)$$

そこで (3), (4) 式より CaO' および N_s が既知ならば W_{FeO} を消去して $N_{\text{CaO}'}$ と N_{FeO} との関係が求まるわけである。

我々はつぎの諸仮定を設け計算を試みた。

先ず鋼滓の CaO , SiO_2 , FeO , Fe_2O_3 の重量をそれぞれ W_{CaO} , W_{SiO_2} , とすると

$$W_{\text{CaO}} = 1/100 \times W_K(\text{CaO})_K$$

$$\begin{aligned} W_{\text{SiO}_2} &= 1/100 \times W_K(\text{SiO}_2)_K \\ &\quad + 1/100 \times 1110 \times R_p \times (60/28) \times [\text{Si}]_p \end{aligned}$$

$$W_{\text{Fe}_2\text{O}_3} = 0.319 W_{\text{FeO}} + 1.711 \quad (\text{実測値より算出})$$

その他の成分 P_2O_5 , MnO , MgO , Al_2O_3 はあまり変動がないゆえ一応それぞれ 4%, 6%, 4% および 1% とし鋼滓の量を 140 kg/t steel とすると

$$W_{\text{P}_2\text{O}_5} = 140 \times 1/100 \times 4 = 6.4 \text{ kg}$$

$$W_{\text{MnO}} = " " \times 6 = 8.4 "$$

$$W_{\text{MgO}} = " " \times 4 = 6.4 "$$

$$W_{\text{Al}_2\text{O}_3} = " " \times 1 = 1.4 "$$

ここに

$$\begin{aligned} W_K &\cdots \text{生石灰量} & R_p &\cdots \text{熔銑比} \\ (\text{CaO})_K &\cdots \text{生石灰中 CaO\%} & [\text{Si}]_p &\cdots \text{熔銑の Si\%} \\ (\text{SiO}_2)_K &\cdots \text{生石灰中 SiO}_2\% \end{aligned}$$

Chipman の表示法によると

$$\text{CaO}' = (\text{C}) - 4(\text{S}_2) \quad (5)$$

ここに (C) および (S_2) はそれぞれ Total base および Total moles of silicate であり（詳細は “Basic Open Hearth Furnace” p. 731 参照）鋼滓の各成分の重量より算出出来る。すなわち上述の W_{CaO} , W_{SiO_2} ……などの値を用いて (5) 式を書きなおすと

$$\begin{aligned} \text{CaO}' &= 0.000178 W_K(\text{CaO})_K - 0.002 W_{\text{FeO}} \\ &\quad + 0.088 - 0.000332 W_K(\text{SiO}_2)_K - 0.792 R_p [\text{Si}]_p \end{aligned} \quad (6)$$

(6) 式を (3) 式に代入すると

$$\begin{aligned} N_{\text{CaO}'} &= N_{\text{FeO}} \left[\frac{W_K}{W_{\text{FeO}}} - \left\{ 0.0128(\text{CaO})_K - 0.0239 \right. \right. \\ &\quad \left. \left. (\text{SiO}_2)_K \right\} - 57 \frac{R_p [\text{Si}]_p}{W_{\text{FeO}}} + \frac{0.634}{W_{\text{FeO}}} - 0.0144 \right] \cdots (7) \end{aligned}$$

つぎに N_{FeO} と W_{FeO} との関係式は (4) 式の N_s

を知ることにより求められ N_s は次式により算出される。

$$\begin{aligned} N_s &= \text{CaO}' + (\text{S}_2) + \text{FeO} + \text{CaFe}_2\text{O}_4 + \text{Ca}_4\text{P}_2\text{O}_9 \\ &= 0.000178 W_K(\text{CaO})_K - 0.00025 W_K(\text{SiO}_2)_K \\ &\quad - 0.594 R_p [\text{Si}]_p + 0.0139 W_{\text{FeO}} + 0.1382 \cdots (8) \end{aligned}$$

(8) 式を (4) 式に代入すると次式がえられる。

$$\begin{aligned} N_{\text{FeO}} &\{ 0.000178 W_K(\text{CaO})_K - 0.00025 W_K(\text{SiO}_2)_K \\ &\quad - 0.594 R_p [\text{Si}]_p + 0.0139 W_{\text{FeO}} + 0.1382 \} \\ &= 0.0139 W_{\text{FeO}} \cdots (9) \end{aligned}$$

さて、(7)式および(9)式中の $[\text{Si}]_p$, R_p , $(\text{CaO})_K$ および $(\text{SiO}_2)_K$ の値を実作業の実績より次のとく仮定し

$$[\text{Si}]_p = 0.8\%, \quad R_p = 0.85, \quad (\text{CaO})_K = 90\%, \quad (\text{SiO}_2)_K = 1.0\%$$

上の値を (7) 式および (9) 式に代入するとそれぞれつぎの (10) および (11) 式がえられる。

$$N_{\text{CaO}'} = N_{\text{FeO}} \left[\frac{1.126 W_K - 38.166}{W_{\text{FeO}}} - 0.0144 \right] \cdots (10)$$

$$\begin{aligned} N_{\text{FeO}} &[0.0158 W_K + 0.0139 W_{\text{FeO}} - 0.2648] \\ &= 0.0139 W_{\text{FeO}} \cdots (11) \end{aligned}$$

(10) および (11) 式より W_{FeO} を消去すると本文中の関係式

$$\begin{aligned} N_{\text{CaO}'} &= \frac{(1.126 W_K - 38.166)(0.0139 - 0.0139 N_{\text{FeO}})}{0.0158 W_K - 0.2648} \\ &\quad - 0.144 N_{\text{FeO}} \end{aligned}$$

がえられる。（昭和 33 年 4 月寄稿）

文 献

- 1) H. Schenck & W. Rieß: Archiv. f. Eisenh. 9 (1935/36) 589
- 2) T. Winkler & J. Chipman: Trans. A.I.M.E 167 (1945) 111
- 3) K. Balajiva, A. G. Quarrell & P. Vajragupta: J.I.S.I. 153 (1946) 115, 155 (1947) 563, 158 (1948) 494
- 4) P. Herasymenko & G. E. Speigt: J.I.S.I. 156 (1947) 505
- 5) G. Speigt & Hans von Ende: Stahl u. Eisen 76 (1956) 18, 1161
- 6) H. Kosmider, H. Neuhaus & A. Weyel: Stahl u. Eisen 74 (1954) 23, 1473
- 7) G. Speigt & Hans von Ende: Stahl u. Eisen 94 (1954) 9, 509